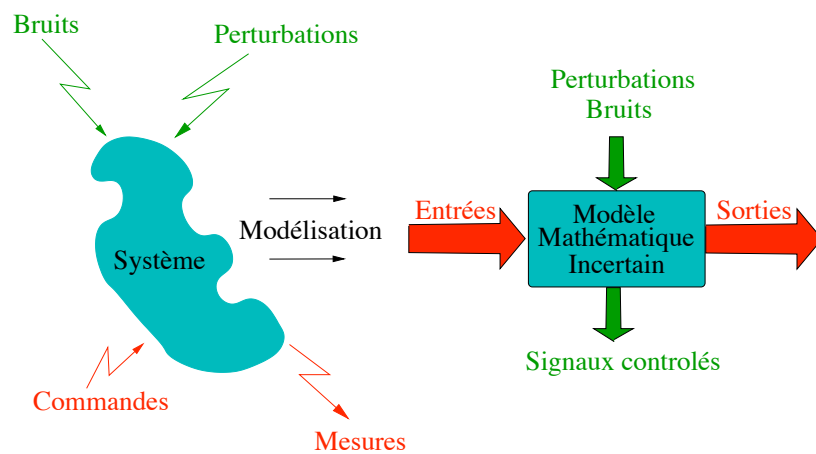


## Modèles linéaires incertains polytopiques



- Le cours se limite aux systèmes **linéaires**
- Modèles par fonctions et matrices de transfert incertaines
- Modèles dans l'espace d'état

■ Matrices polytopiques

$$\text{co} \left\{ M^{[1]}, M^{[2]}, \dots, M^{[\bar{v}]} \right\} = \left\{ M = \sum_{v=1}^{\bar{v}} \zeta_v M^{[v]} \quad : \quad \zeta_v \geq 0, \sum_{v=1}^{\bar{v}} \zeta_v = 1 \right\}$$

- $M^{[v]}$  : sommets du polytope
- $\zeta_v$  coordonnées barycentriques définies sur le simplexe

$$\mathbb{S}_{\bar{v}} = \left\{ \zeta \in \mathbb{R}^{\bar{v}} \quad : \quad \zeta_v \geq 0, \sum_{v=1}^{\bar{v}} \zeta_v = 1 \right\}$$

- Toute matrice affine en  $\bar{\alpha}$  incertitudes scalaires définies sur des intervalles est un polytope à  $\bar{v} = 2^{\bar{\alpha}}$  sommets obtenus en prenant les combinaisons de valeurs extrêmes
- Toute matrice multi-affine en  $\bar{\alpha}$  incertitudes scalaires définies sur des intervalles est **inclue** dans le polytope à  $\bar{v} = 2^{\bar{\alpha}}$  sommets obtenus en prenant les combinaisons de valeurs extrêmes
- Toute matrice incertaine bornée peut être incluse dans un polytope

- Exemple  $M(\delta) = \begin{bmatrix} 1 & \delta \end{bmatrix}$  avec  $\delta \in [1 \ 2]$
- Exemple  $A(\delta_1, \delta_2) = \begin{bmatrix} -1 & 1 + 0.1\delta_1 \\ 2 - \delta_1 & 0.2\delta_2 \end{bmatrix}$  avec  $\delta_i \in [-1 \ 1]$
- Exemple  $M(\delta) = \begin{bmatrix} 1 + \delta \\ 1 + \delta^2 \end{bmatrix}$  avec  $\delta_i \in [-1 \ +1]$
- Exemple  $M(\delta_1, \delta_2) = \begin{bmatrix} 1 + \delta_1 \\ 1 + \delta_2 \\ 1 + \delta_1\delta_2 \end{bmatrix}$  avec  $\delta_i \in [0.1 \ \bar{\delta}]$

■ Systèmes polytopiques

● Systèmes dans l'espace d'état dont les matrices sont définies dans un polytope

● Exemple avec  $\delta_i \in [-1 \ 1]$

$$\dot{x} = \begin{bmatrix} -1 & 1 + 0.1\delta_1 \\ 2 - \delta_1 & 0.2\delta_2 \end{bmatrix} x + \begin{bmatrix} 1 - \delta_2 & 0 \\ 1 & 0.1\delta_1 \end{bmatrix} u$$

$$\left[ \begin{array}{cc|cc} A^{[1]} & B^{[1]} & & \end{array} \right] = \left[ \begin{array}{cc|cc} -1 & 1.1 & 0 & 0 \\ 1 & 0.2 & 1 & 0.1 \end{array} \right], \left[ \begin{array}{cc|cc} A^{[2]} & B^{[2]} & & \end{array} \right] = \left[ \begin{array}{cc|cc} -1 & 1.1 & 2 & 0 \\ 1 & -0.2 & 1 & 0.1 \end{array} \right]$$

$$\left[ \begin{array}{cc|cc} A^{[3]} & B^{[3]} & & \end{array} \right] = \left[ \begin{array}{cc|cc} -1 & 0.9 & 0 & 0 \\ 3 & 0.2 & 1 & -0.1 \end{array} \right], \left[ \begin{array}{cc|cc} A^{[4]} & B^{[4]} & & \end{array} \right] = \left[ \begin{array}{cc|cc} -1 & 0.9 & 2 & 0 \\ 3 & -0.2 & 1 & -0.1 \end{array} \right]$$

● Exemple  $m\ddot{y} + 2\dot{y} + y = bu$  :  $m \in [\frac{1}{3}, 1]$ ,  $b \in [1, 2]$

construire des modèles polytopiques et les comparer

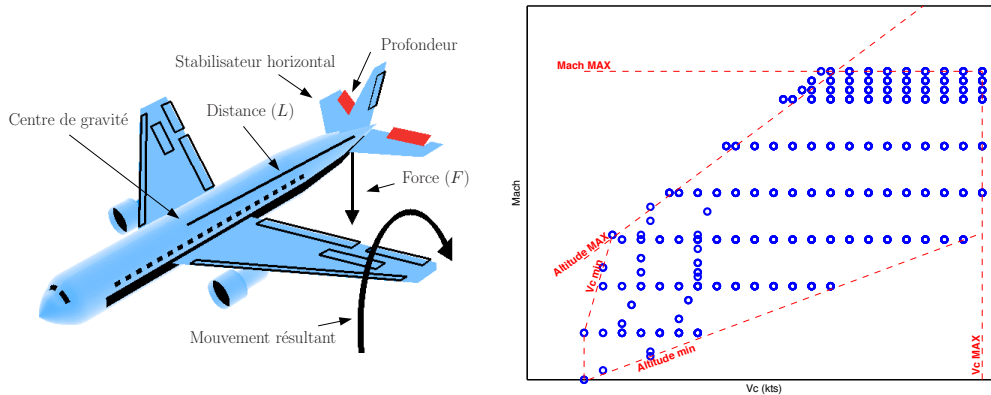
▲ Modèles englobant les réalisations possibles (car modèle non-affine en les incertitudes)

▲ Limitation peut être levée par la modélisation sous forme descripteur

$$E\dot{x} = Ax + Bu$$

■ **Modèle incertain affine polytopique :**

- ▲ Peuvent être construits à la données de familles de modèles identifiés
- ▲ Exemple : Modélisation des dynamiques longitudinales d'un avion civil.



Modèles non-linéaires sur un point de vol  $i$ , approximés par modèles linéaires incertains définis comme l'enveloppe convexe des modèles voisins dans l'espace des paramètres :

$$M_{\theta_i}(\zeta) = \text{CO} \{ M_{\theta_j} : \|\theta_j - \theta_i\| \leq \alpha \}$$

# Modèles linéaires incertains polytopiques

■ Pour un système incertain donné on peut construire en général plusieurs modèles :

Réalité incertaine  $\subset$  modèle polytopique 1  $\subset$  modèle polytopique 2 ...

■ Si  $\{\Sigma_1(\Delta_1), \Delta_1 \in \Delta_1\} \subset \{\Sigma_2(\Delta_2), \Delta_2 \in \Delta_2\}$

et une propriété est vraie pour tout élément de  $\{\Sigma_2(\Delta_2), \Delta_2 \in \Delta_2\}$

alors la propriété est vraie pour tout élément de  $\{\Sigma_1(\Delta_1), \Delta_1 \in \Delta_1\}$ .

■ Propriétés d'intérêt : stabilité, localisation des pôles, performance  $H_\infty$ ...

■ **THM-LTI** Le système  $\dot{x} = Ax$  est stable ssi  $\exists P$  solution des LMI :

$$P \succ 0, \quad A^T P + P A \prec 0$$

● Preuve de la suffisance par la fonction de Lyapunov  $V(x) = x^T P x$

▲ Par congruence les conditions impliquent pour tout  $x \neq 0$  :

$$V(x) > 0, \quad \dot{V}(x) = \dot{x}^T P x + x^T P \dot{x} < 0$$

● Preuve par le placement des pôles. Soit  $Ax = \lambda x$ , alors :

$$x^* A^T P x + x^* P A x = (\lambda^* + \lambda) x^* P x = 2\text{Re}(\lambda) \cdot x^* P x < 0$$

▲ Donc comme  $x^* P x > 0$  on trouve  $\text{Re}(\lambda) < 0$

## Stabilité des modèles polytopiques

---

■ **THM-Poly-LU** Le système polytopique  $\dot{x} = A(\zeta)x$  est stable si  $\exists P$  solution des LMI :

$$P \succ 0, \quad A^{[v]T} P + P A^{[v]} \prec 0, \quad \forall v = 1 \dots \bar{v}$$

● Preuve

▲ Les LMI sont des contraintes convexes, donc  $\forall \zeta \in \{\zeta_v \geq 0, \sum_{v=1}^{\bar{v}} \zeta_v = 1\}$  :

$$\sum_{v=1}^{\bar{v}} \zeta_v (A^{[v]T} P + P A^{[v]}) = A^T(\zeta) P + P A(\zeta) \prec 0$$

▲ Stabilité prouvée pour toute incertitude avec  $V(x) = x^T P x$

● Conditions du **THM-Poly-LU** : chercher une même fonction de Lyapunov qui prouve la stabilité de tous les sommets.

▲ Si cette fonction existe elle prouve la stabilité de tout le polytope.

▲ Si elle n'existe pas, aucune conclusion possible

■ **THM-Poly-Rob** Le système polytopique  $\dot{x} = A(\zeta)x$  est stable **ssi**  $\forall \zeta, \exists P(\zeta)$  solution de :

$$P(\zeta) \succ 0, \quad \dot{P}(\zeta) + A^T(\zeta)P(\zeta) + P(\zeta)A(\zeta) \prec 0$$

● Preuve avec la fonction de Lyapunov, dépendant des paramètres  $V(x, \zeta) = x^T P(\zeta)x$  :

$$\begin{aligned} \dot{V}(x, \zeta) &= x^T \dot{P}(\zeta)x + \dot{x}^T P(\zeta)x + x^T P(\zeta)\dot{x} \\ &= x^T (\dot{P}(\zeta) + A^T(\zeta)P(\zeta) + P(\zeta)A(\zeta))x \end{aligned}$$

● **THM-Poly-LU** cas particulier de **THM-Poly-Rob** où  $P(\zeta) = P$  unique pour toute incertitude

▲ Avantage : **THM-Poly-LU** est testable numériquement (LMI de dimension finie)

▲ **THM-Poly-LU** valide pour des incertitudes constantes et variant dans le temps

Stabilité des modèles polytopiques

■ **THM-Poly-LDP** Le système polytopique  $\dot{x} = A(\zeta)x$  avec  $\dot{\zeta} = 0$  est stable

si  $\exists P^{[v]}$  et  $F$  solutions des LMI :

$$P^{[v]} \succ 0, \quad \begin{bmatrix} 0 & P^{[v]} \\ P^{[v]} & 0 \end{bmatrix} \prec F \begin{bmatrix} A^{[v]} & -1 \end{bmatrix} + \begin{bmatrix} A^{[v]T} \\ -1 \end{bmatrix} F^T, \quad \forall v = 1 \dots \bar{v}$$

● Preuve

▲ Les LMI sont des contraintes convexes, donc  $\forall \zeta \in \{\zeta_v \geq 0, \sum_{v=1}^{\bar{v}} \zeta_v = 1\}$  :

$$\begin{bmatrix} 0 & P(\zeta) \\ P(\zeta) & 0 \end{bmatrix} \prec F \begin{bmatrix} A(\zeta) & -1 \end{bmatrix} + \begin{bmatrix} A^T(\zeta) \\ -1 \end{bmatrix} F^T$$

où  $P(\zeta) = \sum_{v=1}^{\bar{v}} \zeta_v P^{[v]} \succ 0$  et  $\dot{P}(\zeta) = 0$  car  $\dot{\zeta} = 0$ .

▲ Par congruence on trouve

$$\dot{V}(x, \zeta) = \dot{x}^T P(\zeta)x + x^T P(\zeta)\dot{x} < 0, \quad \forall x \neq 0 : \dot{x} = A(\zeta)x$$

▲ Stabilité prouvée pour toute incertitude avec  $V(x, \zeta) = x^T (\sum_{v=1}^{\bar{v}} \zeta_v P^{[v]})x$

■ **THM-Poly-LU** Le système polytopique  $\dot{x} = A(\zeta)x$  est stable si  $\exists P$  solution des LMI :

$$P \succ 0, \quad A^{[v]T}P + PA^{[v]} \prec 0, \quad \forall v = 1 \dots \bar{v}$$

■ **THM-Poly-LDP** Le système polytopique  $\dot{x} = A(\zeta)x$  avec  $\dot{\zeta} = 0$  est stable

si  $\exists P^{[v]}$  et  $S$  solutions des LMI :

$$P^{[v]} \succ 0, \quad \begin{bmatrix} 0 & P^{[v]} \\ P^{[v]} & 0 \end{bmatrix} \prec S \begin{bmatrix} A^{[v]} & -1 \end{bmatrix} + \begin{bmatrix} A^{[v]T} \\ -1 \end{bmatrix} S^T, \quad \forall v = 1 \dots \bar{v}$$

● Quand  $\dot{\zeta} = 0$ ,

**THM-Poly-LU** cas particulier de **THM-Poly-LDP**, cas particulier de **THM-Poly-Rob**

● **THM-Poly-LDP** numériquement plus difficile que **THM-Poly-LU**

■ Localisation robuste des pôles des systèmes LTI

● Localisation dans des régions quadratiques de  $\mathbb{C}$  tq  $r_1\lambda\lambda^* + r_2^*\lambda + r_2\lambda^* + r_3 > 0$

▲  $-\lambda - \lambda^* + 2\alpha > 0 \Leftrightarrow \text{Re}(\lambda) < \alpha$

▲  $\lambda + \lambda^* - 2\alpha > 0 \Leftrightarrow \text{Re}(\lambda) > \alpha$

▲  $-\lambda\lambda^* + \alpha^*\lambda + \alpha\lambda^* + r^2 - \alpha^*\alpha > 0 \Leftrightarrow |\alpha - \lambda| < r$

▲  $-e^{j\psi}\lambda - e^{-j\psi}\lambda^* + \alpha e^{-j\psi} + \alpha^* e^{j\psi} > 0 \Leftrightarrow \angle([\alpha, \alpha + j\omega], \lambda) > \psi$

● Condition LMI

$$P \succ 0, \quad r_1A^*PA + r_2PA + r_2^*A^*P + r_3P \succ 0$$

▲ Preuve : congruence avec vecteur propre de  $A$

▲ Exemple : Condition de stabilité de  $x_{k+1} = Ax$   $P > 0, \quad -A^*PA + P > 0$

▲ Exercice : Construire conditions LMI de localisation de pôles robuste

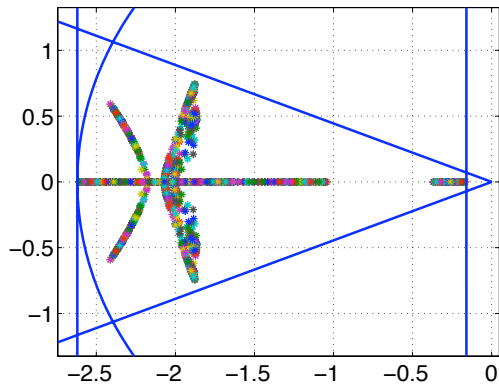
■ Localisation robuste des pôles des systèmes LTI incertains

● Localisation des v.p. de  $A(\Delta)$  pour tout  $\Delta \in \mathcal{A}$

▲ Exemple : polytope avec 3 sommets

$$A^{[1]} = \begin{bmatrix} -1 & 1 & 1 \\ 1 & -2 & 0 \\ 0 & 0 & -1 \end{bmatrix}, \quad A^{[2]} = \begin{bmatrix} -1 & 0 & 1 \\ 1 & -1 & 0 \\ 0 & 1 & -2 \end{bmatrix}, \quad A^{[3]} = \begin{bmatrix} -2 & 1 & 0 \\ 0 & -2 & 1 \\ 1 & 1 & -1 \end{bmatrix}$$

Tirage aléatoire de 1000 combinaisons linéaires de ces sommets



- ▲  $\text{Re}(\text{eig}(A(\Delta))) \leq -0.16 \Rightarrow \tau_{\min} \leq 6.25s$
- ▲  $\text{Re}(\text{eig}(A(\Delta))) \geq -2.62 \Rightarrow \tau_{\max} \geq 0.39s$
- ▲  $|\text{eig}(A(\Delta))| \leq 2.62 \Rightarrow \omega_{n \max} \leq 2.62 \text{rad/s}$
- ▲  $\angle([0, j\omega], \text{eig}(A(\Delta))) \geq 66^\circ \Rightarrow \zeta_{\min} \geq 0.92$

■ Norme  $L_2$  induite (aussi appelée norme  $H_\infty$ ) des systèmes LTI

$$P \succ 0, \quad \begin{bmatrix} A^T P + P A + C_z^T C_z & P B_w + C_z^T D_{zw} \\ B_w^T P + D_{zw}^T C_z & -\gamma^2 \mathbf{1} + D_{zw}^T D_{zw} \end{bmatrix} \prec 0$$

● S'il existe  $P$  solution des LMIs alors le système

$$H_{zw}(s) \sim \begin{cases} \dot{x} = Ax + B_w w \\ z = C_z x + D_{zw} w \end{cases}$$

est asymptotiquement stable et pour toute condition initiale nulle on a  $\|z\| \leq \gamma \|w\|$ .

▲ Preuve par congruence avec signaux  $x$  et  $w$

▲ Exercice : Construire conditions LMI de performance  $H_\infty$  robuste



■  $\dot{x} = Ax$  est stable **ssi** le système dual  $\dot{x}_d = A^T x_d$  est stable

● Preuve 1 :  $\lambda(A) = \lambda(A^T)$

● Preuve 2 : Si  $A$  est stable ssi  $\exists P \succ 0 : A^T P + PA \prec 0$

Par congruence avec  $Q = P^{-1}$ , ssi  $\exists Q \succ 0 : QA^T + AQ \prec 0$

Et donc ssi  $A^T$  est stable

Stabilisation par retour d'état

■ **THM-RE-LTI** Le système  $\dot{x} = Ax + B_u u$  est stabilisable par retour d'état

**ssi**  $\exists Q$  et  $S$  solution des LMI :

$$Q \succ 0, \quad QA^T + S^T B_u^T + AQ + B_u S \prec 0$$

Un gain de retour d'état est alors donné par  $K = SQ^{-1}$

● Preuve : La condition LMI s'écrit aussi  $Q(A + B_u K)^T + (A + B_u K)Q \prec 0$

Condition équivalente à la stabilité du système dual  $\dot{x}_d = (A + B_u K)^T x_d$

Condition équivalente à la stabilité de  $\dot{x} = (A + B_u K)x = Ax + B_u u$  avec  $u = Kx$ .

▲ Exercice : Construire des conditions de stabilisation par retour d'état pour les systèmes incertains polytopiques

▲ Exercice : Construire des conditions de localisation des poles dans des régions du plan complexe par retour d'état